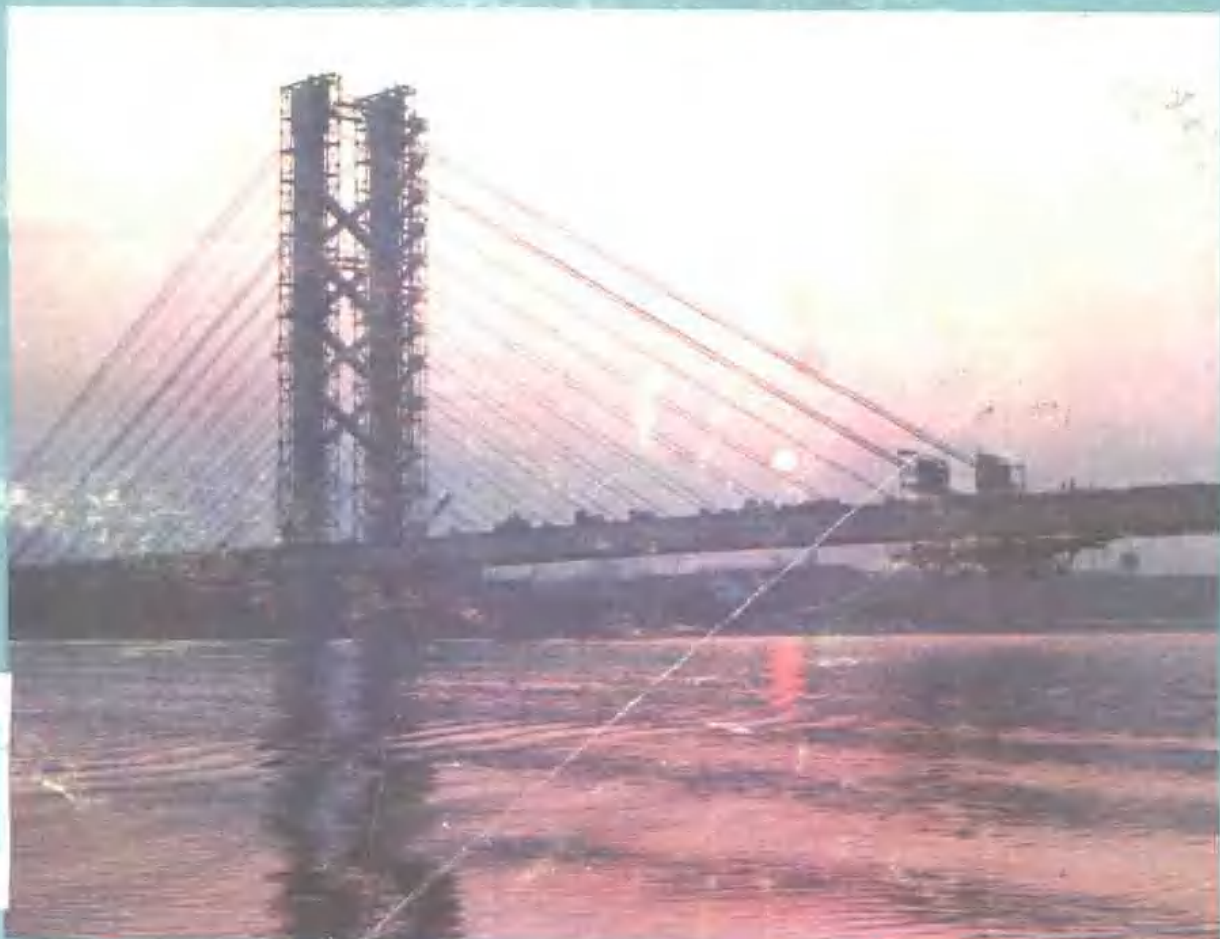


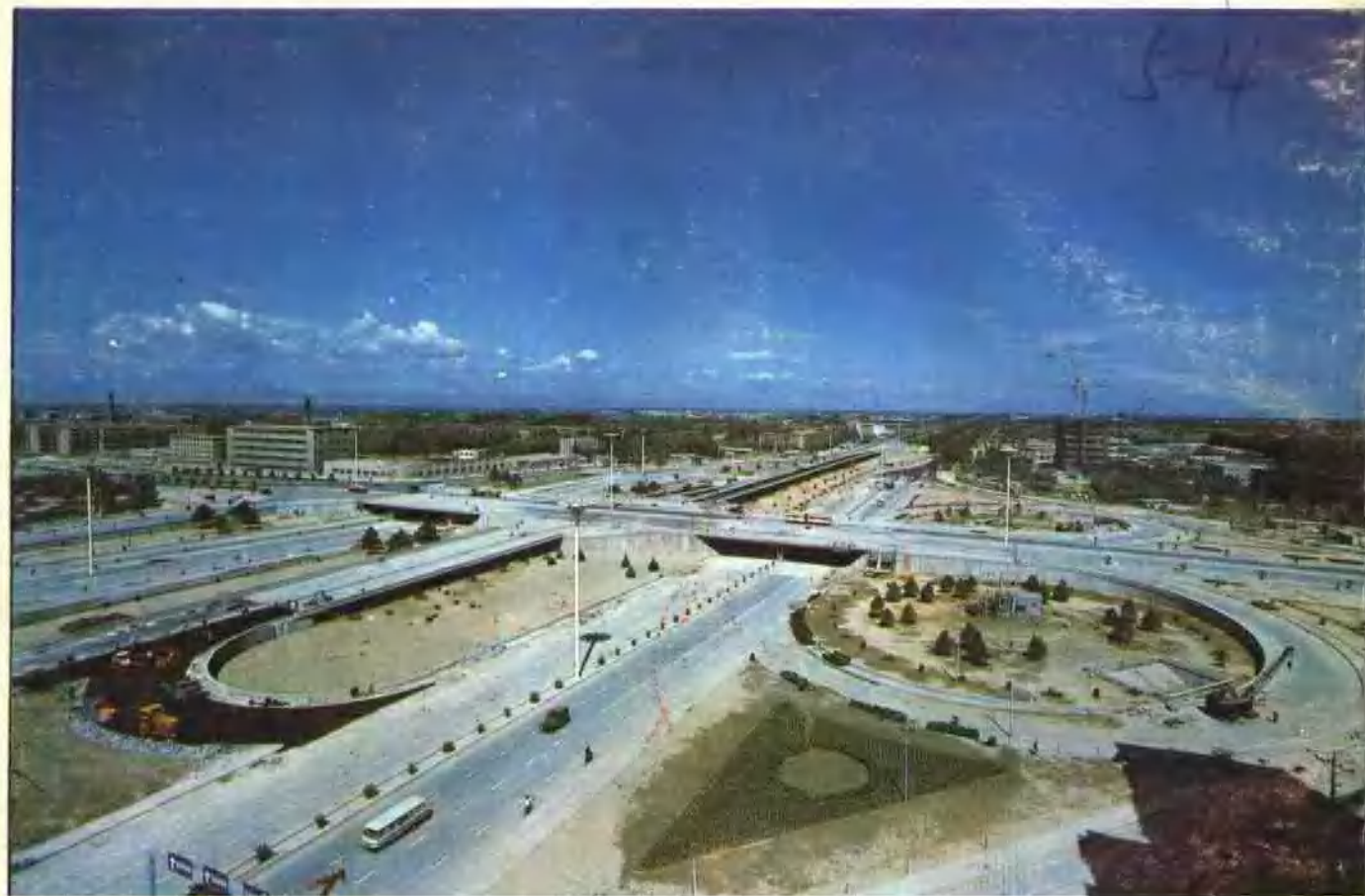
# 城市道路 与桥梁

1985

Roads & Bridges

总第1期  
试刊





北京市三元立交桥(牛王庙立交桥)

《城市道路与桥梁》编辑委员会  
 主任委员 刘作霖  
 副主任委员 王文俊 杨鸿远  
 委员 华尔巽 佟克正 吴国泰  
 杨祖东 范俊秋

《城市道路与桥梁》  
 (内部刊物)  
 试刊 第1期  
 (总第1期)  
 1984年1月

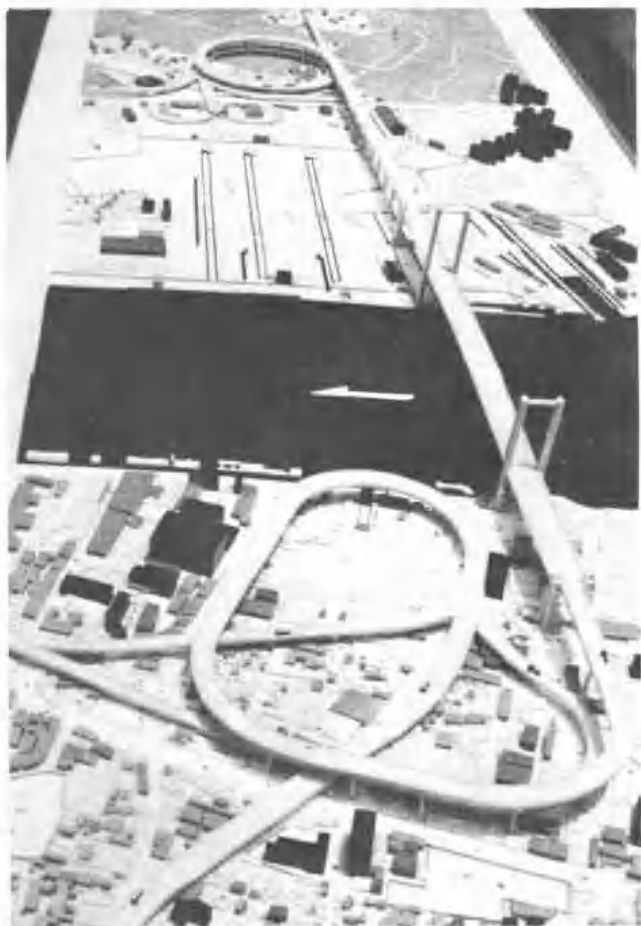
编辑、发行 《城市道路与桥梁》编  
 上海骊明路133号  
 (上海市政工程设计院)  
 印 刷 上海长城绘图印刷厂  
 上海四川北路1963号

0181  
 5-4



# 上海市区黄浦江桥推荐方案模型照片

A引桥方案▶



◀B引桥方案



# 海南岛汽车试验场

## 各种试验路段



▲作动力性能试验的直线跑道



▲每百米长由9332块石块砌成的块石路段  
(比利时路)



▲卵石路面



▲扭曲路段



▲片石路段



▲搓板路段

《城市道路与桥梁》（内部刊物）

试刊 1985年 第1期（总第1期）

1984年12月出版

## 目 录

发刊词	本刊编辑部	( 2 )
采用三角形有限元解算水泥混凝土路面版	高拥民	( 3 )
汽车试验场工程设计	崔健球 崔致强 陆锦隆 顾崇官	( 34 )
上海市区黄浦江大桥工程可行性研究	徐兴玉 侯引程 窦文俊 崔致强	( 48 )
板、梁式弯桥的空间计算	谢万春	( 59 )
重庆长江大桥空间计算	张介望 高崇强	( 79 )
广州市典型人行天桥振动测试报告	广东省地震学会	( 103 )
重建胡德(HOOD)水道浮桥	李何芳 译	( 111 )
<b>简讯</b>		
《城市桥梁、隧道设计准则》编制简讯		( 118 )
上海市南北快速有轨交通线工程可行性研究正在进行		( 118 )
南宁邕江二桥动工兴建		( 119 )
塔顶设观光厅的独塔斜拉桥——在建中的广东南海西樵大桥		( 120 )
香港拟修建跨海峡大桥		( 121 )
安纳西斯斜拉桥		( 121 )
国际桥梁结构协会第二届委员会		( 122 )
<b>读者、作者与编者</b>		
征稿启事	本刊编辑部	( 121 )
征求订户启事	本刊编辑部	( 126 )

封面 上海市泖港大桥

封二 上海市区黄浦江大桥推荐方案模型照片

封三 海南汽车试验场部分试验路面照片

封底 北京市三元立交桥

## 发 刊 词

随着我国国民经济建设的迅猛发展，城市人口急增，市区不断扩大，城市交通问题日益尖锐，作为主要改善措施之一的市政道路与桥梁建设，因此受到更大重视。一些城市因地制宜改造旧路，增辟新路，新建立体交叉、地下铁道、高速公路，增修过江桥梁、隧道、缆车、人行天桥、地道以及研讨轻轨交通等，以疏散、分流、渠化交通，提高运输效率，保障人车安全，使情况初步有所改善，但还有大量工作等待进一步研究实践。为了交流工程技术经验，活跃学术思想，互通信息，特创办本刊，为广大城市道路与桥梁科研、设计、施工、维修养护和教学等单位的科技、管理人员提供切磋的园地，以促进我国城市道路与桥梁建设事业的发展。

由于我们水平有限、经验不足，缺点和错误在所难免，尚希读者多提改进意见，并欢迎各方大力支持、踊跃投稿，使本刊能为城市道路与桥梁建设事业的进一步发展更好地服务。

本刊编辑部

# 采用三角形有限元解算水泥混凝土路面板

高 拥 民

(天津市市政工程勘测设计院)

## 一、前 言

自七十年代初，国内外开始研究用有限元法解算混凝土路面板，但是由于普遍采用矩形单元，这就给可分析的混凝土路面板的形状带来一定的局限性。此外，由薄板理论出发对板角，开孔板孔边及中厚板的计算会带来较大的误差，因此，对水泥混凝土路面板的研究，虽然经过了半个多世纪，但是关于板角，特别是斜板板角及开孔板孔边应力等，尚未得到较好的解决。

本文根据 Mindlin 厚板理论，采用了适用薄板及中厚板的九个自由度的三角形有限元，并按温克勒和弹性半空间二种地基假设进行了推导。计算及试验的结果表明，其精度比划分同样网格的板由薄板理论发出的矩形单元的精度要高。同试验结果吻合也较好。

## 二、计算公式的推导

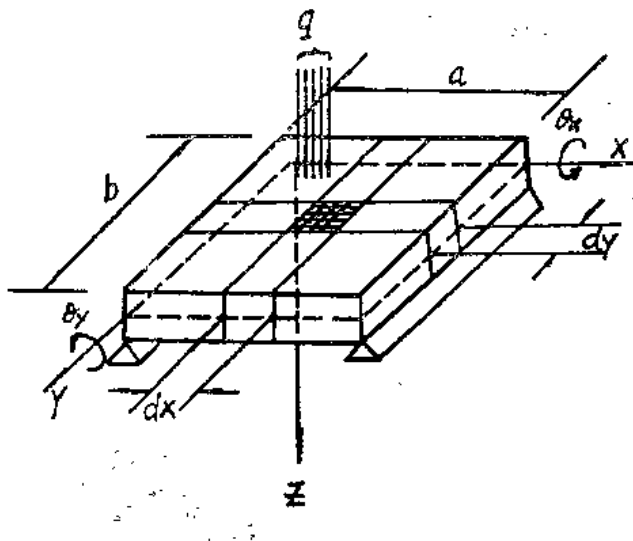
### (一) 板刚度矩阵的形成

#### 1. 平面弯曲的基本方程：

根据 Min dlin 厚板理论[1](注)建立平板弯曲的基本方程，以板中面(X, Y 面)建立右手直角坐标系 OXYZ，并保留中面法线在变形后仍为直线的假设。设中面上任意点的挠度为  $W(x, y)$ ，该点处中面法线绕 X 轴及 Y 轴的转角分别为  $\theta_x(x, y), \theta_y(x, y)$ 。详见图一。

由中面法线转角计算平板沿 X 向的曲率： $\eta_x = \frac{\partial \theta_y}{\partial x}$ ，沿 Y 向的曲率：

$\eta_y = -\frac{\partial \theta_x}{\partial y}$ ，沿 x, y 向的扭率：



图一

注：[1] 括号内数为本文引用参考文献编号，以下同。

$$\eta_{xy} = \frac{\partial \theta_y}{\partial z} - \frac{\partial \theta_x}{\partial y}$$

用 $\{x\}$ 表示板弯曲的形变列阵：

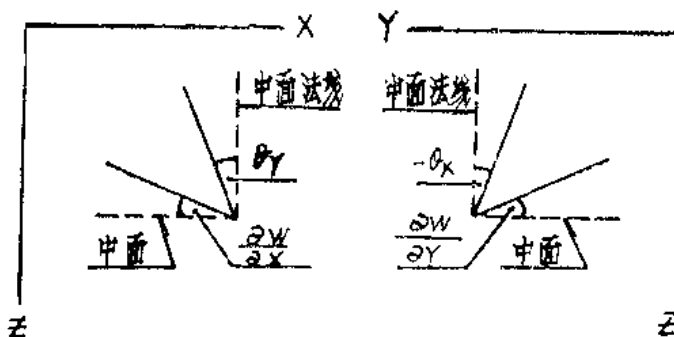
$$\begin{aligned} & \frac{\partial \theta_y}{\partial z} \\ \{x\} = & - \frac{\partial \theta_x}{\partial y} \quad \dots \dots \dots \quad (1) \end{aligned}$$

$$\frac{\partial \theta_y}{\partial z} - \frac{\partial \theta_x}{\partial y}$$

距中面Z处的应变为：

$$\begin{aligned} \varepsilon_x &= Z \frac{\partial \theta_y}{\partial z} \\ \varepsilon_y &= -Z \frac{\partial \theta_x}{\partial y} \quad \dots \dots \dots \quad (2) \\ r_{xy} &= Z \left( \frac{\partial \theta_y}{\partial z} - \frac{\partial \theta_x}{\partial y} \right) \end{aligned}$$

中面处的横向剪应变如图二所示，图二中虚线表示中面和中法线变形前的位置，实线表示变形后的位置。



图二

因此，不难看出沿xz向的剪应变为：

$$r_{xz} = \frac{\partial w}{\partial x} + \theta_y, \text{ 沿YZ向的剪应变为：}$$

$$\tau_{yz} = \frac{\partial W}{\partial y} - \theta_x$$

$$\text{写成列阵: } \begin{Bmatrix} \tau \end{Bmatrix} = \begin{Bmatrix} \frac{\partial W}{\partial x} + \theta_y \\ \frac{\partial W}{\partial y} - \theta_x \end{Bmatrix} \quad \dots \quad (3)$$

$\begin{Bmatrix} \tau \end{Bmatrix}$  为横向剪应变列阵。

板弯曲内力与弯曲变形间的关系同薄板经典理论。设板中面任一点对应的弯矩和扭矩分别为  $M_x, M_y, M_{xy}$ 。则:

$$\begin{aligned} M_x &= \int_{-\frac{h}{2}}^{\frac{h}{2}} \frac{h}{2} \sigma_x \cdot z \cdot dz \\ M_y &= \int_{-\frac{h}{2}}^{\frac{h}{2}} \frac{h}{2} \sigma_y \cdot z \cdot dz \\ M_{xy} &= \int_{-\frac{h}{2}}^{\frac{h}{2}} \frac{h}{2} \tau_{xy} \cdot z \cdot dz \end{aligned} \quad \dots \quad (4)$$

式中:  $\sigma_x, \sigma_y, \tau_{xy}$  为距中面  $z$  处一点的应力。

再根据虎克定律, 将(4)式中的应力用应变表示, 将式(2)代入并做沿板厚积分, 可得:

$$\begin{aligned} M_x &= E_h \left( \frac{\partial \theta_y}{\partial x} - \mu \frac{\partial \theta_x}{\partial y} \right) \\ M_y &= E_h \left( \mu \frac{\partial \theta_y}{\partial x} - \frac{\partial \theta_x}{\partial y} \right) \\ M_{xy} &= \frac{E_h (1-\mu)}{2} \left( \frac{\partial \theta_y}{\partial y} - \frac{\partial \theta_x}{\partial x} \right) \end{aligned} \quad \dots \quad (5)$$

式中:  $E_h = \frac{EH^3}{12(1-\mu^2)}$ ,  $E, \mu$  分别为材料弹性模量和泊桑系数;  $H$  为板厚度。

剪力也可以用剪应变表示, 进而用位移表示。

设板中面一点处对应的剪力为  $Q_x, Q_y$ ,

$$\text{则有: } Q_x = \int_{-\frac{h}{2}}^{\frac{h}{2}} \frac{1}{2} \tau_{xz} \cdot dz \quad \dots \dots \dots \quad (6)$$

$$Q_y = \int_{-\frac{h}{2}}^{\frac{h}{2}} \frac{1}{2} \tau_{yz} \cdot dz$$

式中  $\tau_{xz}$ ,  $\tau_{yz}$  为距中面为  $Z$  处一点的剪应力。应注意到, 我们已假定中面法线变形后仍为直线, 所以剪应变沿板厚不变。根据虎克定律变换(6)式并沿板厚积分

$$\left. \begin{aligned} \text{则有: } Q_x &= E_m \left( \frac{\partial W}{\partial X} + \theta_y \right) \\ Q_y &= E_m \left( \frac{\partial W}{\partial Y} - \theta_x \right) \end{aligned} \right\} \dots \dots \dots \quad (7)$$

式中  $E_m = \frac{E_h}{2(1+\mu)m}$ ,  $m$  为横向剪应力沿厚度均匀分布时的折算系数。按能量相当, 取  $m = 1.2$

将上述五个内力未知量:  $M_x$ ,  $M_y$ ,  $M_{xy}$ ,  $Q_x$ ,  $Q_y$  和三个位移未知量:  $W_x$ ,  $\theta_x$ ,  $\theta_y$  之间的关系写成矩阵形式:

$$\left[ \begin{array}{c|ccccc} M_x & E_h & \mu E_h & 0 & 0 & 0 \\ M_y & \mu E_h & E_h & 0 & 0 & 0 \\ M_{xy} & 0 & 0 & -\frac{E_h(1-\mu)}{2} & 0 & 0 \\ Q_x & 0 & 0 & 0 & E_m & 0 \\ Q_y & 0 & 0 & 0 & 0 & E_m \end{array} \right] \left[ \begin{array}{c} \frac{\partial \theta_y}{\partial x} \\ -\frac{\partial \theta_x}{\partial y} \\ \frac{\partial \theta_y}{\partial y} - \frac{\partial \theta_x}{\partial x} \\ \frac{\partial W}{\partial x} + \theta_y \\ \frac{\partial W}{\partial y} - \theta_x \end{array} \right] \quad \dots \dots \dots \quad (8)$$

令:  $\{\sigma\} = [M_x \ M_y \ M_{xy} \ Q_x \ Q_y]^T \dots \dots \dots \quad (9)$

$$[D] = \begin{bmatrix} E_h & \mu E_h & 0 & 0 & 0 \\ \mu E_h & E_h & 0 & 0 & 0 \\ 0 & 0 & \frac{E_h(1-\mu)}{2} & 0 & 0 \\ 0 & 0 & 0 & E_m & 0 \\ 0 & 0 & 0 & 0 & E_m \end{bmatrix} \quad \dots\dots\dots(10)$$

$$\{e\} = \begin{bmatrix} \frac{\partial \theta_y}{\partial x} \\ \frac{\partial \theta_x}{\partial y} \\ -\frac{\partial \theta_y}{\partial y} - \frac{\partial \theta_x}{\partial x} \\ \frac{\partial W}{\partial x} + \theta_y \\ \frac{\partial W}{\partial y} - \theta_x \end{bmatrix} \quad \dots\dots\dots(11)$$

则式(8)可简写为：

$$\{\sigma\} = [D] \cdot \{e\} \quad \dots\dots\dots(12)$$

式中  $\{e\}$  称为板弯曲问题的应变列阵。

$[D]$  称为板弯曲问题的弹性矩阵。可写成分块形式：

$$[D] = \begin{bmatrix} D_{11} & 0 \\ 0 & D_{22} \end{bmatrix} \quad \dots\dots\dots(13)$$

其中:  $E_1 = \mu E$ ,  $O$

$$[D_{11}] = \begin{bmatrix} E_1 & 0 \\ 0 & E_1 \\ 0 & 0 \end{bmatrix} \quad \dots\dots\dots(14)$$

$$\frac{E_1(1-\mu)}{2}$$

$$[D_{22}] = \begin{bmatrix} E_m & 0 \\ 0 & E_m \end{bmatrix} \quad \dots\dots\dots(15)$$

## 2. 位移函数

采用有限元法位移求解, 重要的问题是对于位移变量选择合适的位移模式。由薄板变形后的几何条件可知,  $W(x, y)$  较  $\theta_x(x, y), \theta_y(x, y)$  高出一次幂, 而  $Q_x, Q_y$  所含的自变量中应保证必要的低次项为原则, 因此可以采用以下的位移模式

$$W(x, y) = \alpha_1 + \alpha_2 x + \alpha_3 y + \alpha_4 x^2 + \alpha_5 xy + \alpha_6 y^2$$

$$\theta_x(x, y) = \beta_1 + \beta_2 x + \beta_3 y \quad \dots\dots\dots(16)$$

$$\theta_y(x, y) = \gamma_1 + \gamma_2 x + \gamma_3 y$$

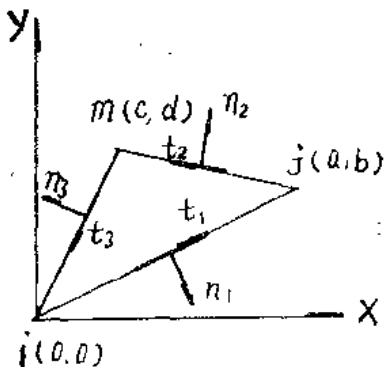
可以看出, 要独立确定(16)式中的12个待定系数, 三角形单元三个结点提供的九个位移条件是不够的, 因此补用了[2]中对单元的约束条件, 即沿三角形单元每边建立切向与法向坐标轴  $t-n$  (图三示)

设约束条件为沿每边剪力  $\theta_t$  为常量, 按式(7)可以写出:

$$Qt = E_m \left( \frac{\partial W}{\partial t} - \theta_n \right) \quad \dots\dots\dots(17)$$

其中  $\frac{\partial W}{\partial t}$  为三角形边上一点处挠度  $W$  沿坐标  $t$  的方向导数,

$\theta_n$  为该处的中面法线绕  $n$  轴的转角。由方向导数公式则有:



$$\frac{\partial W}{\partial t} = \frac{\partial W}{\partial X} \cdot \cos(x, n) + \frac{\partial W}{\partial Y} \cdot \cos(y, n) \quad \dots\dots\dots(18)$$

同时  $\theta_n$  与  $\theta_x, \theta_y$  有此下关系:

$$\theta_n = \theta_x \cdot \cos(x, n) + \theta_y \cos(y, n) \quad \dots\dots\dots(19)$$

式中:  $\cos(x, n), \cos(y, n)$  为轴  $n$  的方向余弦。令  $\cos(x, n) = L, \cos(y, n) = m$ , 并注意到  $\cos(x, t) = -\cos(y, n), \cos(y, t) = \cos(x, n)$

将式(18), (19)代入(17)式, 则有:

$$Q_t = E_m \left[ -\left( \frac{\partial W}{\partial X} + \theta_y \right) m + \left( \frac{\partial W}{\partial Y} - \theta_x \right) L \right] \dots\dots\dots (17)$$

由于沿单元每边剪力为常量，则：

$$\frac{\partial Q_t}{\partial t} = E_m \left[ -\left( \frac{\partial^2 W}{\partial x \partial t} + \frac{\partial \theta_y}{\partial t} \right) m + \left( \frac{\partial^2 W}{\partial y \partial t} - \frac{\partial \theta_x}{\partial t} \right) L \right] = 0 \dots\dots\dots (18)$$

由方向导数的公式可知：

$$\begin{aligned} \frac{\partial^2 W}{\partial x \partial t} &= -\frac{\partial^2 W}{\partial x^2} m + \frac{\partial^2 W}{\partial x \partial y} L \\ \frac{\partial^2 W}{\partial y \partial t} &= -\frac{\partial^2 W}{\partial x \partial y} m + \frac{\partial^2 W}{\partial y^2} L \\ \frac{\partial \theta_x}{\partial t} &= -\frac{\partial \theta_x}{\partial x} m + \frac{\partial \theta_x}{\partial y} L \\ \frac{\partial \theta_y}{\partial t} &= -\frac{\partial \theta_y}{\partial x} m + \frac{\partial \theta_y}{\partial y} L \end{aligned} \dots\dots\dots (20)$$

将式(20)代入式(18)，再将(16)式代入则有：

$$(a_4 + \frac{1}{2}\gamma_2)m^2 + (\frac{1}{2}(\beta_2 - \gamma_3) - a_5)m(a_6 - \frac{1}{2}\beta_3)L^2 = 0 \dots\dots\dots (21)$$

对于单元的每条边均可写出一个(21)式这样的条件，

$$\left. \begin{array}{l} m_1^2 - l_1 m_1 - l_1^2 \\ m_2^2 - l_2 m_2 - l_2^2 \\ m_3^2 - l_3 m_3 - l_3^2 \end{array} \right\} \left. \begin{array}{l} a_4 + \frac{1}{2}\gamma_2 \\ \frac{1}{2}(\beta_2 - \gamma_3) - a_5 \\ a_6 - \frac{1}{2}\beta_3 \end{array} \right\} = \left. \begin{array}{l} 0 \\ 0 \\ 0 \end{array} \right\} \dots\dots\dots (21)$$

这是一个齐次线性方程组，由解析几何可知系数行列式不等于零，因此有：

$$\left. \begin{array}{l} a_4 = -\frac{1}{2}\gamma_2 \\ a_5 = \frac{1}{2}(\beta_2 - \gamma_3) \\ a_6 = \frac{1}{2}\beta_3 \end{array} \right\} \dots\dots\dots (22)$$

将(22)式代入(16)式则有：

$$\begin{aligned}
 W(x, y) &= \alpha_1 + \alpha_2 x + \alpha_3 y - \frac{1}{2} \gamma_2 x^2 + \frac{1}{2} (\beta_1 - \gamma_3) xy + \frac{1}{2} \beta_3 y^2 \\
 \theta_x(x, y) &= \beta_1 + \beta_2 x + \beta_3 y \\
 \theta_y(x, y) &= \gamma_1 + \gamma_2 x + \gamma_3 y
 \end{aligned} \quad \dots \dots \dots (23)$$

此时，已变成了一个九个自由度的单元，式(23)中九个待定系数可由三角形单元顶点九个位移函数确定。三角形顶点坐标按图四所示，显然这比采取增加三边中点为结点方法未知量个数少，总刚阵体积小，计算也较简便。

三角形单元三顶点的结点位移如图五所示则结点位移列阵为：

$$[\sigma] = [W_i, \theta_{xi}, \theta_{yi}, W_j, \theta_{xj}, \theta_{yj}, W_m, \theta_{xm}, \theta_{ym}]^T \quad \dots \dots \dots (24)$$

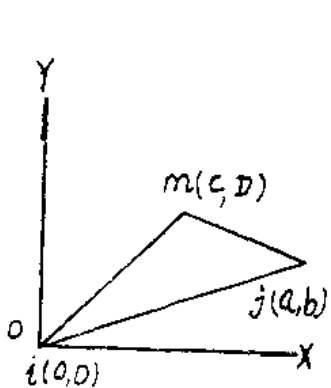


图 四

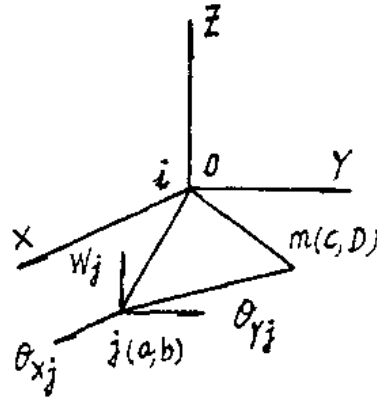


图 五

在式(23)中，当  $x, y$  取结点坐标时，等号左边为相应的结点位移，从而可以定出其九个待定系数，将求得待定系数代回式(23)即可得到以形函数和结点位移表示的位移模式：

$$\begin{aligned}
 W &= N_i W_i + N_j W_j + N_m W_m + L_i \theta_{xi} + L_j \theta_{xj} + L_m \theta_{xm} + K_i \theta_{yi} + K_j \theta_{yj} + K_m \theta_{ym} \\
 \theta_x &= N_i \theta_{xi} + N_j \theta_{xj} + N_m \theta_{xm} \\
 \theta_y &= N_i \theta_{yi} + N_j \theta_{yj} + N_m \theta_{ym}
 \end{aligned} \quad \dots \dots \dots (25)$$

式中  $N_i, N_j, N_m, L_i, L_j, L_m, K_i, K_j, K_m$  为形函数

其中:  $N_1 = 1 + \frac{b-d}{2\Delta} x + \frac{c-a}{2\Delta} y$

$$N_3 = \frac{d}{2\Delta} x - \frac{c}{2\Delta} y$$

$$N_m = -\frac{b}{2\Delta} x + \frac{d}{2\Delta} y$$

.....(26)

$$L_1 = \frac{1}{2} y + \frac{b-d}{4\Delta} xy + \frac{c-a}{4\Delta} y^2$$

$$L_3 = \frac{1}{4\Delta} (-bdx + bcy + dxy - cy^2)$$

$$L_m = \frac{1}{4\Delta} (bdx - ady - bxy + ay^2)$$

$$K_1 = -\frac{1}{2} x - \frac{b-d}{4\Delta} x^2 - \frac{c-a}{4\Delta} xy$$

$$K_3 = \frac{1}{4\Delta} (adx - acy - dx^2 + cxy)$$

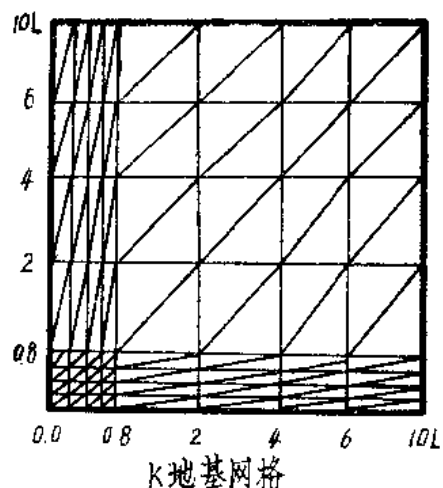
$$K_m = \frac{1}{4\Delta} (-bcx + acy + bx^2 - axy)$$

为三角形面积

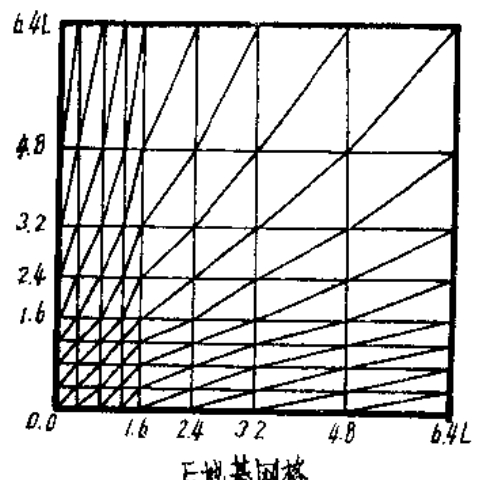
### 三、计算结果及精度

根据上述推导公式用 FORTRAN(IV) 语言编写了电算程序，并在引进的日本M—160机进行了调试。为了与矩形元精度做一比较，计算时采取了与文献[5]相同的参数。即：路面板的弹性模量  $E_c = 2.1 \times 10^5$  公斤/厘米<sup>2</sup>；泊桑比  $\mu_c = 0.15$ ；板厚为  $h = 20$  厘米；路基的弹性模量  $E_s = 800$  公斤/厘米<sup>2</sup>，地基反力系数  $K = 5.5$  公斤/厘米<sup>2</sup>，泊桑比  $\mu_s = 0.30$ ；集中荷载  $P = 4500$  公斤；均布荷载单位压力  $P = 5$  公斤/厘米<sup>2</sup>，接触面积  $0.41 \times 0.41$ ， $l$  为相对刚度半径。

板网格划分见图六



K地基网格



E地基网格

图 5

(---) K—地基上板

集中荷载作用于板中，沿对称轴x(或y轴)的挠度系数 $W = \frac{k^2}{\rho}$ ，弯矩系数 $M = \frac{M}{\rho}$ ，其计算结果示于表3、表4、表5。

均布荷载作用于板中时，其计算结果示于表6、表7、表8。

## K—地基板中集中荷载下的挠度系数W

表 3

$\frac{x}{l}$	精 确 解 W	矩形有限元解		三角形有限元解	
		W	相对误差%	W	相对误差%
0	0.12500	0.11501	-8.0	0.124	-0.8
0.2	0.12065	0.11061	-8.3	0.116	-3.9
0.4	0.11200	0.10202	-8.9	0.106	-5.4
0.6	0.10145	0.09170	-9.6	0.095	-6.4
0.8	0.09015	0.08079	-10.4	0.084	-6.8
1.0	0.07878	0.07005	-11.1	0.073	-7.3
1.4	0.05758				
1.8	0.03970				
2.0	0.03223	0.02658	-17.5	0.03	+2.4
2.4	0.02010				
3.0	0.00814				
4.0	-0.00035	-0.00017			
6.0	-0.00115	-0.00081			
10.0		0.00078		0.000039	